

НЕСТАЦИОНАРНЫЕ ТЕМПЕРАТУРНЫЕ ПОЛЯ В ОХЛАЖДАЕМЫХ ДИСКАХ

В. И. Ванько

(Новосибирск)

Рассматривается неустановившийся тепловой процесс в двух дисках без центрального сверления. Переход температур по толщине диска не учитывается.

1. Рассмотрим сплошной диск, прогреваемый с обода потоком рабочего газа температуры $T_1 = \text{const}$. По торцам происходит охлаждение газом нулевой температуры, причем расход охлаждающего газа считаем бесконечно большим. В начальный момент температура диска равна температуре охлаждающего газа.

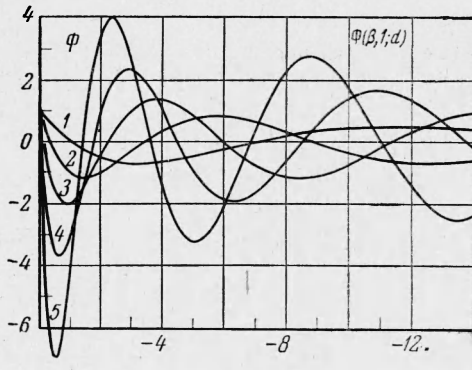
Пусть r — текущий радиус, R — радиус диска на ободе, $t^\circ \text{C}$ — температура диска, γ_g — коэффициент теплоотдачи от рабочего газа к диску, γ_0 — коэффициент теплоотдачи от диска к охлаждающему газу, $\lambda = \text{const}$ — коэффициент теплопроводности материала диска, c — удельная теплоемкость, ρ — плотность материала диска, n^2 — величина, имеющая размерность времени, τ — время, $h(x)$ — уравнение профиля, h_1 — толщина диска на ободе, B — критерий Био, F — критерий Фурье

$$\begin{aligned} n^2 &= \frac{R^2 \rho c}{\lambda}, & B &= \frac{\gamma_g R}{\lambda}, & F &= \frac{\tau}{n^2}, \\ f(x) &= \frac{xh(x)}{h_1}, & m^2 &= \frac{2R^2 \gamma_0}{\lambda h_1} \end{aligned}$$

Введем безразмерные величины

$$x = \frac{r}{R} \quad (0 \leq x \leq 1),$$

$$u = -\frac{\tau}{T_1} \quad (0 \leq u \leq 1)$$



Фиг. 1

Задача приводится к уравнению теплопроводности следующего вида [1]

$$\frac{\partial}{\partial x} \left(f(x) \frac{\partial u}{\partial x} \right) - m^2 x u = n^2 f(x) \frac{\partial u}{\partial \tau} \quad (1.1)$$

с условиями

$$u(x, 0) = 0, \quad -\frac{\partial u}{\partial x} + B(1-u) = 0 \quad \text{при } x=1, \quad \frac{\partial u}{\partial x} = 0 \quad \text{при } x=0 \quad (1.2)$$

Применяя преобразование Лапласа

$$L[u(x, \tau)] \equiv \int_0^\infty u(x, \tau) e^{-\tau s} d\tau = U(x, s)$$

к задаче (1.1), (1.2), с учетом начального условия имеем

$$\frac{d}{dx} \left(f(x) \frac{dU}{dx} \right) - m^2 x U = sn^2 f(x) U \quad (1.3)$$

$$U' + BU = \frac{B}{s} \quad \text{при } x=1, \quad U' = 0 \quad \text{при } x=0 \quad (1.4)$$

Здесь $f(x)$ — функция, зависящая от профиля, всюду на $[0, 1]$ положительная, она предполагается непрерывной с непрерывной производной. Характеристические уравнения, рассматриваемые в работе, соответствуют краевой задаче с собственными значениями (s)

$$(fU')' - m^2 x U = sn^2 fU, \quad U' + BU = 0 \quad \text{при } x=1$$

$$U' = 0 \quad \text{при } x=0$$

Из анализа Гильберта — Шмидта краевых задач для линейных дифференциальных уравнений следует, что в рассматриваемом случае [2]:

- 1) существуют собственные значения, корни уравнений, и все они действительны,
- 2) множество собственных значений бесконечно.

2. Рассмотрим диск гиперболического профиля $h(x) = kx^{-1}$. В уравнении (1.3) положим $\gamma_0 = \text{const}$, тогда $m^2 = \text{const}$. Имеем

$$U'' - (m^2x + n^2s) U = 0 \quad (2.1)$$

$$-U' + B \left[\frac{1}{s} - \frac{U}{U'} \right] = 0 \quad \text{при } x = 1, \quad U' = 0 \quad \text{при } x = 0 \quad (2.2)$$

Замена переменной $t = m^2x + n^2s$ дает уравнения

$$U'' - a^2tU = 0 \quad \left(a = \frac{1}{m} \right) \quad (2.3)$$

которое посредством преобразования [3]

$$U = \sqrt{t}\eta, \quad t = a^{-1/3} \left(\frac{3}{2}\xi \right)^{2/3}$$

переходит в уравнение Бесселя мнимого аргумента

$$\frac{d}{d\xi} \left(\xi \frac{d\eta}{d\xi} \right) - \left(\xi + \frac{1}{9\xi} \right) \eta = 0$$

Решение его после перехода к переменной x имеет вид

$$U(x, s) = z(x) \{ A_1 I_{1/3}(bz^3) + A_2 I_{-1/3}(bz^3) \} \quad (z(x) = \sqrt{m^2x + n^2s}, b = 2/3 a^{1/2})$$

Производная по x запишется так:

$$U' = 3bz^3 \frac{dz}{dx} \{ A_1 I_{-2/3}(bz^3) + A_2 I_{2/3}(bz^3) \}$$

Неизвестные постоянные интегрирования A_1 и A_2 находим из граничных условий

$$A_1 = \frac{\Delta A_1}{\Delta}, \quad A_2 = \frac{\Delta A_2}{\Delta}$$

где

$$\Delta = z_0^2 I_{2/3}(bz_0^3) [l z_1^2 I_{-2/3}(bz_1^3) + B z_1 I_{1/3}(bz_1^3)] - z_0^2 I_{-2/3}(bz_0^3) [l z_1^2 I_{2/3}(bz_1^3) + B z_1 I_{-1/3}(bz_1^3)]$$

$$\Delta A_1 = \frac{B}{S} z_0^2 I_{2/3}(bz_0^3), \quad \Delta A_2 = -\frac{B}{S} z_0^2 I_{-2/3}(bz_0^3)$$

$$z_1 = z(1), \quad z_0 = z(0), \quad l = m^{2/3}$$

Следовательно, изображающая функция имеет вид

$$U(x, s) = \frac{\Delta A_1}{\Delta} z I_{1/3}(bz^3) + \frac{\Delta A_2}{\Delta} z I_{-1/3}(bz^3) \quad (2.4)$$

Введем параметры

$$n^2s = -\mu^2, \quad m^2 + n^2s = -\kappa^2 \quad (\mu^2 = m^2 + \kappa^2) \quad (2.5)$$

Так как характеристическое уравнение комплексных корней не имеет, то $\mu^2 > m^2$.

Выражение (2.4) будет суммой обобщенных полиномов [4], удовлетворяющих всем условиям теоремы обращения. Поэтому, переходя к оригиналу и учитывая связь между функциями Бесселя мнимого и действительного аргументов, получим

$$U(x, s) = \frac{B \sqrt{x} I_{-1/3}(bm^3 \sqrt{x^3})}{lm I_{2/3}(bm^3) + BI_{-1/3}(bm^3)} + \sum_{n=1}^{\infty} \frac{B \sqrt{\mu_n^2 - m^2 x}}{\mu_n^2 \sqrt{\mu_n^2 - m^2} d\psi(\mu_n)/d\mu} \times \quad (2.6)$$

$$\begin{aligned} & \times [J_{1/3}(b \sqrt{(\mu_n^2 - m^2 x)^3}) J_{2/3}(b \mu_n^3) + \\ & + J_{-1/3}(b \sqrt{(\mu_n^2 - m^2 x)^3}) J_{-2/3}(b \mu_n^3)] \exp(-\mu_n^2 F_0) \end{aligned}$$

где μ_n — корни уравнения

$$\Psi(\mu) = J_{2/3}(b\mu^3) [\kappa l J_{-2/3}(b\kappa^3) - BJ_{1/3}(b\kappa^3)] - J_{-2/3}(b\mu^3) [\kappa l J_{2/3}(b\kappa^3) - BJ_{-1/3}(b\kappa^3)] = 0$$

Параметры μ и κ связаны зависимостью (2.5), а $l = m^{2/3}$. Первый член в (2.6) дает стационарное температурное поле для чисел Био $B < \infty$. При больших числах

Био, т. е. когда температуру на ободе можно принять равной единице, распределение температур получается предельным переходом $\lim U(x, \tau)$ при $B \rightarrow \infty$.

3. Рассмотрим случай диска постоянной толщины сечения $h(x) = \text{const}$. Коэффициент $\gamma_0 = a_0(1+x^2)$; отсюда $m^2 = \alpha^2(1+x^2)$. Имеем

$$U'' + \frac{1}{x} U' - (\alpha^2 x^2 + \sigma) U = 0 \quad (\sigma = \alpha^2 + n^2 s) \quad (3.1)$$

Здесь s — параметр преобразования Лапласа. Границные условия прежние.

После замены переменной $\alpha^2 x^2 + \sigma = t$ получим уравнение с линейными относительно t коэффициентами

$$U''(t - \sigma) + U' - \frac{t}{4\alpha^2} U = 0 \quad (3.3)$$

Уравнение подобного типа после замены переменных [5]

$$U = z \exp(ht), \quad t = \lambda \xi + \mu$$

Фиг. 2

при соответствующем выборе параметров, именно

$$h = -\frac{1}{2\alpha}, \quad \lambda = \alpha, \quad \mu = \sigma$$

преобразуется в вырожденное гипергеометрическое

$$\xi \frac{d^2 z}{d\xi^2} + (1 - \xi) \frac{dz}{d\xi} - \left(\frac{1}{2} + \frac{\sigma}{4\alpha}\right) z = 0 \quad (3.3)$$

Положив

$$\frac{1}{2} + \frac{\sigma}{4\alpha} = \beta, \quad 1 = \gamma$$

имеем решение

$$z = A_1 \Phi(\beta, \gamma; \xi) + A_2 \Psi(\beta, \gamma; \xi)$$

Здесь $\Phi(\beta, \gamma; \xi)$ — вырожденный гипергеометрический ряд

$$(\Phi(\beta, \gamma; \xi)) = 1 + \frac{\beta}{\gamma} \frac{\xi}{1!} + \frac{\beta(\beta+1)}{\gamma(\gamma+1)} \frac{\xi^2}{2!} + \dots$$

Так как $\gamma = 1$, то, как следует из теории, второе решение (3.3) содержит логарифмический член. Поэтому в силу граничного условия при $x = 0$ необходимо положить $A_2 = 0$. Изображение имеет вид

$$U(x, s) = A_1 \exp\left\{-\frac{dx^2}{2} - \frac{\sigma}{2\alpha}\right\} \Phi\left(\frac{1}{2} + \frac{\sigma}{4\alpha}, 1; \alpha x^2\right)$$

Найдем A_1 из условия при $x = 1$

$$U(x, s) = B \exp\left(-\frac{\alpha x^2}{2} - \frac{\sigma}{2}\right) \frac{\Phi(\beta, \gamma; \alpha x^2)}{s [(B - \alpha) \Phi(\beta, \gamma; \alpha) + 2\alpha\beta\Phi(\beta + 1, \gamma + 1; \alpha)]} \quad \begin{cases} B > 0 \\ \alpha > 0 \end{cases} \quad (3.4)$$

Найдем оригинал (3.4). Знаменатель имеет нулевой корень $s = 0$. Исследуем расположение корней уравнения

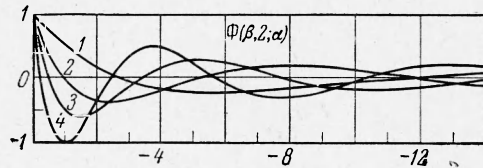
$$\chi(\beta) = (B - \alpha) \Phi(\beta, 1; \alpha) + 2\alpha\beta\Phi(\beta + 1, 2; \alpha) = 0 \quad (3.5)$$

В области $\beta > 0$ функции $\Phi(\beta, 1; \alpha)$ и $\Phi(\beta + 1, 2; \alpha)$ представляют собой бесконечные ряды с положительными членами. Если $B - \alpha \geq 0$, то на правой полуоси корней нет ($B_k \leq 0$). Отсюда

$$\beta_k = \frac{1}{2} + \frac{\alpha^2 + n^2 s_k}{4\alpha} \leq 0, \quad s_k \leq \frac{1}{n^2} (-\alpha^2 - 2\alpha)$$

Таким образом найдется такая прямая $s = s_c$, что все полюсы (3.4) расположены левее ее. Оригинал строится по теореме обращения. Если $B - \alpha < 0$, на правой полуоси, на отрезке $[0, 1]$, найдется хотя бы один корень, так как

$$\chi(0) = B - \alpha < 0, \quad \chi(1) = (B + \alpha) e^\alpha > 0$$



В области $\beta > 1$ имеем $\chi(\beta) > 0$, это легко показать, если выписать члены каждого слагаемого и сравнить коэффициенты при одинаковых степенях α ; и в этом случае все полюсы расположены левее некоторой прямой, но здесь нужно следить за тем, чтобы s не превышало нуля (для сходимости ряда (3.6)). Имеем

$$(0 < \beta < 1), \quad \frac{1}{h^2} (-2\alpha - \alpha^2) < s < \frac{1}{n^2} (2\alpha - \alpha^2)$$

Отсюда, если $2\alpha - \alpha^2 < 0$, т. е. $\alpha > 2$, то все $S_k < 0$.

Итак, в случае $B - \alpha \geq 0$ и в случае $B - \alpha < 0$, но $\alpha > 2$, по теореме обращения имеем

$$\begin{aligned} U(x, \tau) = & \frac{B \exp \{-0.5 \alpha x^2 - 0.5 \alpha\} \Phi(1/2 + 1/4 \alpha, 1; \alpha x^2)}{(B - \alpha) \Phi(1/2 + 1/4 \alpha, 1; \alpha) + 2\alpha (1/2 + 1/4 \alpha) \Phi(3/2 + 1/4 \alpha, 2; \alpha)} + \\ & + \sum_{k=1}^{\infty} \frac{B 4\alpha \exp \{-0.5 \alpha x^2 - 0.5 \alpha\}}{\beta_k d\chi(\beta_k)/d\beta} \Phi(\beta_k, 1; \alpha x^2) \exp(S_k F_0) \\ \beta_k = & \frac{1}{2} + \frac{\alpha^2 + n^2 S_k}{4\alpha} \end{aligned}$$

Первый член, как обычно, дает стационарное распределение; $\lim U(x, \tau)$ при $B \rightarrow \infty$ даст предельный случай, когда температура на ободе равна единице.

Для вычисления корней уравнения (3.5) А. С. Барановой на электронно-вычислительной машине были получены таблицы вырожденных гипергеометрических рядов $\Phi(\beta, 1; \alpha)$ и $\Phi(\beta + 1, 2; \alpha)$ для $-20 \leq \beta \leq 0$ (шаг $h(\beta) = 0.1$) и $1 \leq \alpha \leq 10$ (шаг $h(\alpha) = 0.5$).

Подробные таблицы имеются в отчете Института гидродинамики. На фиг. 1 и 2 приведены графики $\Phi(\beta, 1; \alpha)$ и $\Phi(\beta, 2; \alpha)$. Здесь в таблице приведены корни уравнения (3.5) для некоторых значений числа Био B .

Таблица

Корни характеристического уравнения (3.5)

| α | $B = 0.5$ | $B = 1$ | $B = 1.5$ | $B = 2$ |
|----------|--|--|--|---|
| 4 | $-3 < \beta_1 < -2.9$ $-6.4 < \beta_2 < -6.3$ $-11 < \beta_3 < -10.9$ $-16.9 < \beta_4 < -16.9$ | $-3.4 < \beta_1 < -3$ $-6.5 < \beta_2 < -6.4$ $-11.1 < \beta_3 < -11$ $-16.9 < \beta_4 < -16.8$ | $-4.4 < \beta_1 < -4$ $-3.2 < \beta_2 < -3.1$ $\beta_3 = -6$ $-11.1 < \beta_4 < -11$ $-17 < \beta_5 < -16.9$ | $-4.4 < \beta_1 < -4$ $-3.2 < \beta_2 < -3.1$ $-6.6 < \beta_3 < -6.5$ $-11.2 < \beta_4 < -11.1$ $-17.1 < \beta_5 < -17$ |
| | | | | |
| | | | | |
| | | | | |
| 5 | $-2.6 < \beta_1 < -2.5$ $-5.3 < \beta_2 < -5.2$ $-9 < \beta_3 < -8.9$ $-13.7 < \beta_4 < -13.6$ | $-2.7 < \beta_1 < -2.6$ $-5.4 < \beta_2 < -5.3$ $-9.1 < \beta_3 < -9$ $-13.7 < \beta_4 < -13.6$ | $\beta_1 = -4$ $-2.7 < \beta_2 < -2.6$ $-5.4 < \beta_3 < -5.3$ $-9.1 < \beta_4 < -9$ $-13.8 < \beta_5 < -13.7$ | $-1.4 < \beta_1 < -1$ $-2.8 < \beta_2 < -2.7$ $-5.5 < \beta_3 < -5.4$ $-9.2 < \beta_4 < -9.1$ $-13.8 < \beta_5 < -13.7$ |
| | | | | |
| | | | | |
| | | | | |

Поступила 7 I 1963

ЛИТЕРАТУРА

- Костюк А. Г. О температурных полях в дисках турбин в условиях неуставновившегося теплового режима. Тр. Московск. энергетическ. ин-та, Энергомашиностроение, вып. 23.
- Привалов И. И. Интегральные уравнения. ОНТИ НКТП, 1937.
- Трикоми Ф. Лекции по уравнениям в частных производных. ИЛ, 1957.
- Лыков А. В. Теория теплопроводности. ГИТТЛ, 1952.
- Erdélyi A., Magnus W., Oberhettinger F., Tricomi F. Higher Transcendental Functions. New York, McGraw Hill Book Company, 1953, vol. 1.